

# ⑧ PRZYKŁADY I ZASTOSOWANIA QUASI PORZĄDKÓW

Krata  $(\Lambda, \vee, \wedge)$  to zbiór  $\Lambda$  z danymi

Łącznymi działaniami spełniającymi:

- i)  $x \vee y = y \vee x$  i  $x \vee x = x, \forall x, y \in \Lambda,$
  - ii)  $x \wedge y = y \wedge x$  i  $x \wedge x = x, \forall x, y \in \Lambda,$
  - iii)  $x = x \vee (x \wedge y), \forall x, y \in \Lambda,$
  - iv)  $x = x \wedge (x \vee y), \forall x, y \in \Lambda.$
- } prawa absorpcji

Relacja  $x \leq y \Leftrightarrow \exists z \in \Lambda : y = x \vee z$  zadaje

ozęściowy porządek na  $\Lambda$ . Ozęściowość

Wynika z praw absorpcji:  $x \leq y$  i  $y \leq x$

$$\Rightarrow x = y \vee z_1, \text{ i } y = x \vee z_2 \Rightarrow y \wedge x = y \wedge (y \vee z_1) = y$$

$$\text{ i } x \wedge y = x \wedge (x \vee z_2) = x \stackrel{y \wedge x = x \wedge y}{\Rightarrow} x = y. \text{ Każdy}$$

ozęściowy porządek spełniający kilka dodatkowych warunków pochodzi od kraty.

Przykład: Krata  $2^X$  z operacjami  $\cup$  i  $\cap$ .

Jej ozęściowy porządek to  $\subseteq$ . Istotnie,  
 $A \leq B \Rightarrow \exists C : B = A \cup C \Rightarrow A \subseteq B \Rightarrow B = A \cup B \Rightarrow A \leq B.$

Przykład:  $(\mathbb{R}, \leq)$ . Zbiory otwarte w topologii Alexandrova to półproste  
 $\uparrow x := \{y \in \mathbb{R} \mid x \leq y\}$  lub  $\{y \in \mathbb{R} \mid x \leq y, x \neq y\}$ .

Quasi porządek topologii euklidesowej  $\mathcal{O}(\mathbb{R})$  jest trywialny:

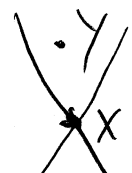
$$x \leq y \Leftrightarrow \mathbb{R} \setminus \{x\} \supseteq \mathbb{R} \setminus \{y\} \Leftrightarrow$$

$$\{x\} \subseteq \{y\} \Leftrightarrow x = y.$$

Topologia quasi porządku trywialnego jest zawsze dyskretna:  $\mathcal{U}(x, x \leq x) = 2$

Uwaga: Quasi porządkiem na  $X$  jest też relacja  $x \leq y, \forall x, y \in X$ . Jego topologia Alexandrova jest niedyskretna:  $\mathcal{U}(x, x \leq y, \forall x, y \in X) = \{\emptyset, X\}$ .

Przykład: Quasi porządkiem na przestrzeni Minkowskiego jest relacja  $x \leq y \Leftrightarrow$   
 $x$  jest w stożku przeszłości:



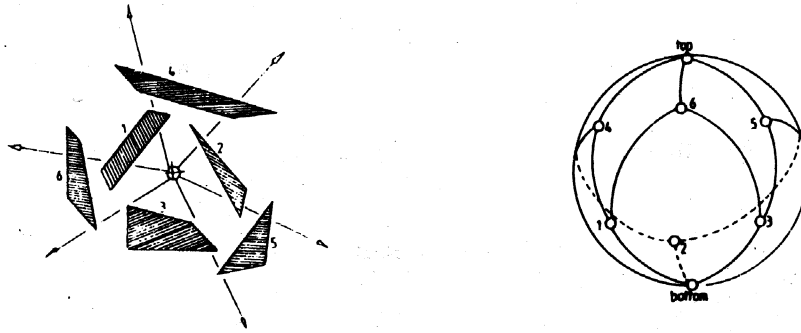


Figure 2: (i) One-light source order; (ii) with top and bottom adjoined the one-light source order becomes a spherical order

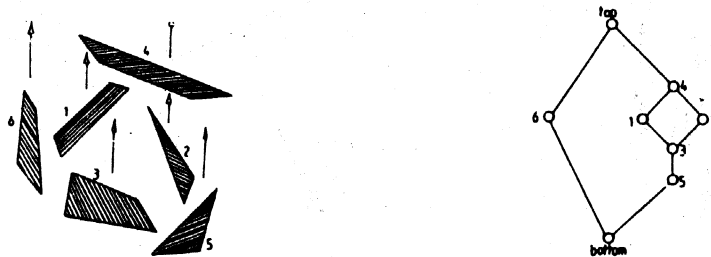


Figure 3: (i) One-directional blocking order; (ii) with top and bottom adjoined the one-light source order becomes a planar lattice

Here is a combinatorial model for iceflow analysis (its motion planning, separability, and visibility) based on *order*.

Consider a family of disjoint convex figures on the plane, and a “light source” located at a point  $p$  on the plane disjoint from all of the convex figures. A figure  $B$  *obstructs* a figure  $A$  (or  $B$  *blocks*  $A$ ) if there is a point  $b \in B$  such that the line joining  $p$  to  $b$  intersects  $A$ . Write  $A \rightarrow B$ . More generally, write  $A < B$  if there is a sequence  $A = A_1 \rightarrow A_2 \rightarrow \dots \rightarrow A_k = B$ . This relation  $<$  is transitive and, if there are no directed cycles, then it is antisymmetric, too, in which case we call it a *one-light source order*. (See Figure 2.)

If the light source  $p$  is located outside the convex closure of these figures then the relation  $<$  is certainly antisymmetric and, if  $p$  is located far from the convex closure, then the light source would appear to cast a parallel beam of light. In this case, the model actually coincides with a motion planning model, according to which each figure is assigned a common direction of motion and a figure  $B$  *blocks* a figure  $A$  if there is a line joining a point of  $A$  to a point of  $B$  along this common direction. We call the transitive closure of this blocking relation a *one-directional blocking order*. (See Figure 3.)

There are indications that order, even lattices, may well play a central role in these motion planning problems. The important properties are closely linked to the graphical data structures we use to represent ordered sets. The chief one is the *upward drawing* (alias, *diagram*, *line diagram*, *Hasse diagram*, *directed (acyclic) covering graph*) according to which the elements of an ordered set  $P$  are drawn on a surface, usually the plane, as disjoint small circles, arranged in such a way that, for  $a, b \in P$ , the circle corresponding to  $a$  is higher than the circle corresponding to  $b$  whenever  $a > b$  and a monotonic arc is drawn to join them just if  $a$  *covers*  $b$  (that is, for each  $x \in P$ ,  $a > x \geq b$  implies  $x = b$ ). We also say that  $a$  is an

Pokrycie otwarte (domknięte) zbioru  $X$   
to rodzina zbiorów otwartych (domkniętych)  $\{U_i\}_{i \in I}$  takich że  $\bigcup_{i \in I} U_i = X$ .

Każde pokrycie  $X$  zadaje na  $X$  naturalny  
quasi-porządek:  $x \leq y \Leftrightarrow \{i \in I \mid x \in U_i\} \subseteq \{i \in I \mid y \in U_i\}$ .

Zadaje też relację równoważności na  $X$ :

$$x \sim y \Leftrightarrow (x \in U_i \Leftrightarrow y \in U_i, \forall i \in I).$$

Przestrzeń ilorazowa  $X/\sim$  wkłada się zawsze

do  $2^I \setminus \{\emptyset\}$ :  $[x] \mapsto \{i \in I \mid x \in U_i\}$ . Injekcja

$F$  zachowuje quasi-porządek:  $x \leq y \Rightarrow F(x) \subseteq F(y)$ .

Naturalna topologia na  $2^I \setminus \{\emptyset\}$  pomoże

w badaniu  $X$  to topologia Alexandrova.

Otwarty problem Dedekinda: Krata podzbiorów

jest zawsze kratą dystrybutywną:

$$x \wedge (y \vee z) = (x \wedge y) \vee (x \wedge z), \forall x, y, z.$$

Załóżmy że  $I$  jest zbiorem  $n$ -elementowym.

Wtedy  $F$  jest surjekcją  $\Leftrightarrow$  kratą  $P$  generowaną

przez  $\{U_i\}_{i \in I}$  jest wdolna, tzn.  $\forall$  kraty dystrybutywnej  $\Lambda$  generowanej przez  $\{\lambda_i\}_{i \in I} \exists$  homomorfizm

# Finite free distributive lattices

By Koichi YAMAMOTO

(Received March 9, 1954)

1.—Introduction.—The problem to determine the order  $f(n)$  of the free distributive lattice  $FD(n)$  generated by  $n$  symbols  $\gamma_1, \dots, \gamma_n$  was first proposed by Dedekind but very little is known about this number [1, p. 146]. Only the first six values of  $f(n)$  are computed, and enumerations of further  $f(n)$  appear to lie beyond the scope of any reasonable methods known today. It might, however, be pointed out that Morgan Ward, who found  $f(6)$  by the help of computing machines, stated [2] an asymptotic relation

$$\log_2 \log_2 f(n) \sim n$$

and that the present author proved in a previous note [3] that

$$f(n) \equiv 0 \pmod{2} \quad \text{if} \quad n \equiv 0 \pmod{2}.$$

An inspection of numerical results  $f(n)$ ,  $n \leq 6$  suggests strongly the following asymptotic equivalence

$$(*) \quad \log_2 f(n) \sim \sqrt{\frac{2}{\pi}} 2^{n-\frac{1}{2}}.$$

The author cannot prove or disprove this interesting relation, but he proves in the present paper that

$$\sqrt{\frac{2}{\pi}} 2^{n-\frac{1}{2}}(1+O(n^{-1})) < \log_2 f(n) < \sqrt{\frac{2}{\pi}} 2^{n-\frac{1}{2}} \log_2 \sqrt{\frac{n\pi}{2}} (1+O(n^{-1}))$$

Powódzmy że Wzorem Stirlinga:

$$n! \sim \frac{n^n}{e^n} \sqrt{2\pi n}, \quad \text{czyli} \quad \lim_{n \rightarrow \infty} \frac{n! e^n}{n^n \sqrt{2\pi n}} = 1.$$

knot  $P \xrightarrow{\varphi} \Lambda$  taki że  $\varphi(\gamma_i) = \lambda_i, \forall i \in I$ .  
 Adhomomorfizm  $R \xrightarrow{f} S$  pomiędzy knotami  
 $(R, \vee_R, \wedge_R)$  i  $(S, \vee_S, \wedge_S)$  nazywamy homomorfizmem gdy  $\forall x, y \in R: f(x \vee_R y) = f(x) \vee_S f(y)$  i  $f(x \wedge_R y) = f(x) \wedge_S f(y)$ . [7]

Zadanie 8: Przestrzeń topologiczna  $X$  nazywamy spójną, gdy  $A \cup B = X; \bar{A} \cap B = \emptyset = A \cap \bar{B}$

$\Rightarrow A = \emptyset$  lub  $B = \emptyset$ . Np.  $[a, b]$  jest spójny, zbiór  $(a, b)$   $(a, b]$  jest niespójny.

Udowodnij że zbiór wszystkich skończonych niepustych podzbiorów  $\mathbb{N}$  jest spójny w topologii Alexandrova naturalnego quasi porządku  $\subseteq$ .

Zadanie 9: Niech  $\Lambda$  będzie dowolną kratą.

Udowodnij że warunek rozdzielności

$$i) \quad x \wedge (y \vee z) = (x \wedge y) \vee (x \wedge z), \quad \forall x, y, z \in \Lambda$$

jest równoważny warunkowi rozdzielności

$$ii) \quad x \vee (y \wedge z) = (x \vee y) \wedge (x \vee z), \quad \forall x, y, z \in \Lambda$$

Kratę spełniającą te warunki nazywamy kratą dystrybutywną. Policz ile elementów

ma ustalona kratę dystrybutywną generowana przez zbiory  $A, B, C$ , przecinające się jak na obrazku:

